

شناسائی دقیق پارامترهای مدل تابع سیم پیچ موتور القائی با الگوریتم ژنتیک

ابوالقاسم راعی
استاد یار
دانشکده برق، دانشگاه صنعتی امیرکبیر

وحید رشتچی
مربی
دانشکده فنی، دانشگاه زنجان

چکیده

مدل تابع سیم پیچ، کاربرد وسیعی برای تجزیه و تحلیل رفتار موتور القائی دارد، ولی روش سیستماتیکی برای تعیین دقیق پارامترهای آن ارائه نشده است. تعیین مقدار اندوکتانسهای ناشی میله های روتور، اندوکتانس ناشی سیم پیچهای استاتور، متوسط فاصله هوایی و مقاومت میله های روتور، بر اساس محاسبات تقریبی صورت می پذیرد. در این مقاله برای اولین بار روشی سیستماتیک برای تعیین پارامترهای مدل تابع سیم پیچ ارائه میشود. روش پیشنهادی با استفاده از الگوریتم ژنتیک و داده های جمع آوری شده از یک آزمایش ساده بر روی موتور مورد نظر، پارامترهای مدل را با دقت بالایی تعیین میکند. الگوریتم ژنتیک بکار رفته، با کدینگ حقیقی بوده و برای استفاده از آن ناگزیر به اصلاح مدل میباشیم. در مدل اصلاح شده توزیع واقعی سیم پیچهای استاتور در یک شیار لحاظ شده و نقطه ای فرض نمیشود. صحت و دقت پارامترهای بدست آمده، با مقایسه داده های حاصل از آزمایش و نتایج شبیه سازی، برای شرایط مختلف کاری و از جمله خطاهای دور به دور استاتور، انجام شده و تطبیق آنها نشان داده شده است.

کلمات کلیدی

موتور القائی، تابع سیم پیچ، الگوریتم ژنتیک، شناسائی پارامتر.

Accurate Identification of Parameters, in Winding Function Model of Induction Motor, Using Genetic Algorithm

V.Rashtchi
Instructor
Engineering Department,
Zanjan University

A.Raie
Assistant Professor
Electrical Engineering Department,
Amirkabir University of Technology

Abstract

Winding function model is widely used for analyzing the behaviour of induction motor, but there is no systematic method for accurate determination of its parameters. To compute, rotor bar leakage inductance, stator leakage inductance, average air gap and rotor bar resistance, approximate formulas are used.

In this paper for the first time a systematic method for accurate parameter identification of winding function model is presented. The proposed scheme uses a genetic algorithm with data collected from a simple experiment on the selected motor. The genetic algorithm is real coded, and in order to be able to use it, the model should be modified to take into account the actual winding distribution in a slot. The validity of the scheme, correctness and accuracy of the parameters obtained are shown by comparing and finding the matching of experimental and simulation results, for a machine under different operating point conditions, including stator turn faults.

Keywords

Induction motor, Genetic algorithm, Winding function, Parameter identification.

زاویه ای روتور محاسبه میشوند. همچنین MMF ایجاد شده در فاصله هوایی، با توزیع واقعی در نظر گرفته میشود. این ویژگیها در روابط و معادلاتی که در ادامه ارائه خواهند شد، مد نظر قرار گرفته اند.

روابط (۱) الی (۸)، معادلات الکتریکی روتور و استاتور ماشین را نشان میدهند.

$$\mathbf{V}_s = \mathbf{R}_s \mathbf{I}_s + \frac{d\Lambda_s}{dt} \quad (1)$$

$$\mathbf{V}_r = \mathbf{R}_r \mathbf{I}_r + \frac{d\Lambda_r}{dt} \quad (2)$$

$$\Lambda_s = \mathbf{L}_{ss} \mathbf{I}_s + \mathbf{L}_{sr} \mathbf{I}_r \quad (3)$$

$$\Lambda_r = \mathbf{L}_{rs} \mathbf{I}_s + \mathbf{L}_{rr} \mathbf{I}_r \quad (4)$$

$$\mathbf{V}_s = [\mathbf{V}_{as} \quad \mathbf{V}_{bs} \quad \mathbf{V}_{cs}]^T \quad (5)$$

$$\mathbf{I}_s = [\mathbf{I}_a \quad \mathbf{I}_b \quad \mathbf{I}_c]^T \quad (6)$$

$$\mathbf{I}_r = [\mathbf{I}_{r1} \quad \mathbf{I}_{r2} \quad \dots \quad \mathbf{I}_{rm} \quad \mathbf{I}_{re}]^T \quad (7)$$

$$\mathbf{V}_r = [0] \quad (8) \text{ (برای موتور قفس سنجابی)}$$

روابط (۹) الی (۱۲)، معادلات مکانیکی حاکم بر ماشین را نشان میدهند.

$$\mathbf{T}_e = \mathbf{I}_s^T \frac{\partial \mathbf{L}_{sr}}{\partial \theta_{rm}} \mathbf{I}_r \quad (9)$$

$$\frac{d\omega_r}{dt} = \frac{1}{J} (\mathbf{T}_e - \mathbf{T}_{lt}) \quad (10)$$

$$\frac{d\theta_{rm}}{dt} = \omega_m \quad (11)$$

$$\mathbf{T}_{lt} = \mathbf{T}_l + \mathbf{T}_c + k_1 \times \omega_r + k_2 \times \omega_r^2 \quad (12)$$

در رابطه (۱۰) کل بار منتقله به شفت موتور می باشد که مولفه های آنرا رابطه (۱۲) نشان میدهد. در این رابطه \mathbf{T}_l بار مکانیکی، \mathbf{T}_c گشتاور کولمب ناشی از اصطکاک، k_1 ضریب میرائی و k_2 برای مدل سازی بار ناشی از فن خنک کننده بر روی شفت موتور می باشد.

روابط (۱۳) الی (۱۷)، ماتریسهای اندوکتانس و مقاومت بکار رفته در معادلات (۱) الی (۴) را نشان میدهند.

$$\mathbf{R}_s = \text{diag}([\mathbf{R}_{sa} \quad \mathbf{R}_{sb} \quad \mathbf{R}_{sc}]) \quad (13)$$

تجزیه و تحلیل و شبیه سازی رفتار موتور القائی در شرایط غیر متعارف، مثلا پس از وقوع انواع خطاهای روتور و استاتور، نقش مهمی را برای بررسی و ارزیابی روشهای تشخیص خطا و استراتژی های حفاظتی و احیانا دستیابی به روشهای بهتر بازی میکند. بدیهی است که مطالعه رفتار موتور تحت چنین شرایطی، بصورت تجربی امکان پذیر نبوده و مدل مرسوم dq نیز بدلیل مبتنی بودن بر توزیع سینوسی و تعادل فازها، برای تجزیه و تحلیل و شبیه سازی، قابل استفاده نمیشود. مناسبترین مدلی که برای شبیه سازی رفتار موتور القائی در حوزه زمان و تحت چنین شرایطی مطرح شده است، مدل تابع سیم پیچ میباشد. از آنجا که در این مدل، هندسه ماشین، توزیع سیم پیچها و اتصالات لحاظ شده است، انواع خطاهای استاتور و روتور و نیز خطاهای مکانیکی مانند ناهم محوری روتور در آن بسادگی قابل نمایش است [۱ و ۲].

از مشکلات استفاده از این مدل، تعیین مقدار برخی از پارامترها، مانند اندوکتانسهای نشتی و مقاومت میله های روتور، اندوکتانس نشتی سیم پیچهای استاتور و متوسط فاصله هوایی میباشد.

برای تعیین این پارامترها، نوعا روابط تقریبی استفاده میشود و در صورت وجود داده های آزمایشی و تفاوت فاحش آن با نتایج شبیه سازی، اصلاحاتی مبتنی بر تجربه و یا سعی و خطا صورت میگردد. بطور خلاصه روش سیستماتیکی که انطباق خروجی های مدل و نتایج آزمایشی را تضمین نماید، ارائه نشده است.

این مقاله روشی مبتنی بر الگوریتم ژنتیک، برای شناسایی پارامترهای مدل تابع سیم پیچ ارائه میکند. معادلات مدل و پارامترهای آن در ادامه همین بخش معرفی میشوند. نگرش جدیدی در پیاده سازی الگوریتم ژنتیک با کدینگ حقیقی و کاربرد آن در شناسایی پارامترهای مدل تابع سیم پیچ موضوع بحث بخش دوم مقاله است. نکات مهم اجرائی در پیاده سازی الگوریتم و تمهیداتی که منجر به همگرایی آن شده است در بخش سوم مطرح میشوند. ارزیابی روش با نشان دادن انطباق داده های حاصل از آزمایش و نتایج شبیه سازی، برای موتور سالم و موتور با خطای استاتور، در بخش چهارم آمده است.

۱ - معادلات و پارامترهای مدل تابع سیم پیچ

در مدل تابع سیم پیچ جریان هر میله روتور و هر فاز استاتور به عنوان متغیر های مجزا تلقی شده و با در نظر گرفتن کوپلاژ مغناطیسی بین میله های روتور و فازهای استاتور اندوکتانسهای متقابل بصورت تابعی از موقعیت

معادله (۱)، $(v_{as} - v_{bs})$ و $(v_{bs} - v_{cs})$ را تشکیل داده و با توجه به اینکه $I_a + I_b + I_c = 0$ است به معادلات (۱۹) الی (۳۱) بر حسب ولتاژ خطوط دست می یابیم. این معادلات در شبیه سازی بکار می روند و پارامترهای الکتریکی و مکانیکی مورد استفاده در این معادلات، یعنی $g, l_e, l_b, r_e, r_b, r_{sa}, r_{sb}, r_{sc}, l_b, J, T_1, T_e, k_1, k_2$ توسط الگوریتم ژنتیک تعیین مقدار می شوند.

$$\Lambda_{sll} = L_{ssl} I_{sll} + L_{srll} I_r \quad (19)$$

$$\Lambda_r = L_{rsll} I_{sll} + L_{rr} I_r \quad (20)$$

$$\Lambda_{sll} = [\Lambda_{sab} \quad \Lambda_{sbc}] \quad (21)$$

$$\Lambda_{sab} = \Lambda_{sa} - \Lambda_{sb}$$

$$\Lambda_{sbc} = \Lambda_{sb} - \Lambda_{sc}$$

$$I_{sll} = [I_a \quad I_b]^T \quad (22)$$

$$L_{srll} = [L_{sar} - L_{sbr} \quad L_{sbr} - L_{scr}]^T \quad (23)$$

$$L_{rsll} = [L_{sar}^T - L_{sbr}^T \quad L_{sbr}^T - L_{scr}^T]^T \quad (24)$$

$$DL_{srll} = [DL_{sar} - DL_{scr} \quad DL_{sbr} - DL_{scr}]^T \quad (25)$$

$$D = \frac{\partial}{\partial \theta_{rm}}$$

$$R_{sll} = \begin{bmatrix} R_{sa} & -R_{sb} \\ R_{sc} & R_{sb} + R_{sc} \end{bmatrix} \quad (26)$$

$$\frac{d\Lambda_{sll}}{dt} = V_{sll} - R_{sll} I_{sll} \quad (27)$$

$$\frac{d\Lambda_r}{dt} = -R_r I_r \quad (28)$$

$$\frac{d\omega_r}{dt} = \frac{1}{J} (T_e - T_1) \quad (29)$$

$$T_e = I_{sll}^T \frac{\partial L_{srll}}{\partial \theta_{rm}} I_r \quad (30)$$

$$\frac{d\theta_{rm}}{dt} = \omega_m \quad (31)$$

$$R_r = \begin{bmatrix} 2(R_b + R_e) & -R_b & 0 & \dots & -R_b \\ -R_b & 2(R_b + R_e) & -R_b & \dots & 0 \\ 0 & -R_b & 2(R_b + R_e) & \dots & \vdots \\ \vdots & \vdots & \vdots & \dots & \vdots \\ -R_b & 0 & \dots & \dots & 2(R_b + R_e) \end{bmatrix} \quad (14)$$

$$L_{ss} = \begin{bmatrix} L_{saa} + l_{ls} & L_{sab} & L_{sac} \\ L_{sba} & L_{sbb} + l_{ls} & L_{sbc} \\ L_{sca} & L_{scb} & L_{scc} + l_{ls} \end{bmatrix} \quad (15)$$

$$L_{rr} = \begin{bmatrix} L_{rr} + 2(l_b + l_e) & L_{r12} - l_b & L_{r13} & \dots & L_{r1n} - l_b \\ L_{r21} - l_b & L_{rr} + 2(l_b + l_e) & L_{r23} - l_b & \dots & L_{r2n} \\ L_{r31} & L & L & \dots & \vdots \\ \vdots & \vdots & \vdots & \dots & \vdots \\ L_{rn1} & L_{rn2} & L_{rn3} & \dots & L_{rn} + 2(l_b + l_e) \end{bmatrix} \quad (16)$$

$$L_{sr} = \begin{bmatrix} L_{sar1} & L_{sar2} & \dots & L_{sarn} \\ L_{sbr1} & L_{sbr2} & \dots & L_{sbrn} \\ L_{scr1} & L_{scr2} & \dots & L_{scrn} \end{bmatrix} \quad (17)$$

در روابط فوق، e نشانگر میله انتهایی روتور و n تعداد میله های روتور می باشد.

محاسبه اندوکتانسهای خودی و متقابل بر اساس تئوری تابع سیم پیچ با استفاده از رابطه (۱۸) صورت میگیرد که متغیرهای آن عبارتند از:

φ موقعیت زاویه ای روتور نسبت به استاتور
 θ موقعیت زاویه ای در سطح داخلی استاتور برای
 انتگرال گیری

L طول روتور

r شعاع متوسط فاصله هوائی

$g^{-1}(\varphi, \theta)$ تابع معکوس هوائی

$$L_{ij}(\varphi) = \mu_0 L r \int_0^{2\pi} g^{-1}(\varphi, \theta) N_i(\varphi, \theta) N_j(\varphi, \theta) d\theta \quad (18)$$

در صورت یکنواخت بودن فاصله هوائی، $g^{-1}(\varphi, \theta) = 1/g$ خواهد بود. اندوکتانسهای خودی با مساوی قرار دادن i, j و از همان رابطه (۱۸) بدست می آیند.

در معادله (۱) ولتاژ فازهای استاتور ظاهر شده است که به دلیل عدم دسترسی به نقطه زمین ماشین این ولتاژها قابل دسترسی نمی باشند. برای رفع این مشکل با استفاده از

الگوریتم ژنتیک با کدینگ حقیقی و بکارگیری آن در شناسایی پارامترهای

مدل تابع سیم پیچ

الف - الگوریتم ژنتیک با کدینگ حقیقی

الگوریتم ژنتیک روشی است که میتواند برای حل دستگاه معادلات غیر خطی و مسائل بهینه سازی پیچیده بکار رود. این الگوریتم با استفاده از اعداد تصادفی و بر مبنای انتخاب طبیعی عمل میکند و نیازمند داشتن تخمین اولیه خوبی از جواب مسئله نمی باشد. یعنی بدست آوردن پاسخ یک مسئله پیچیده میتواند از تخمینهای اولیه ضعیف شروع و در روند تکاملی بقای اصلح، به دقت لازم برسد [۳].

الگوریتم ژنتیک در فرم استاندارد آن بر روی رشته‌های باینری، موسوم به کروموزوم، که پاسخهای محتمل مسئله میباشند عمل میکند. الگوریتم ژنتیک ساده‌ای که در بسیاری از مسائل عملی از جمله شناسایی پارامترهای مدل dq موتور القائی از اطلاعات پلاک موتور [۴]، نتایج خوبی بدست داده است، از سه عملگر تولید مثل، تزویج و جهش استفاده میکند. این عملگرها که از فرآیند تکامل طبیعی اقتباس شده اند، جمعیت کروموزومها را بسوی تکامل، که بمعنی بزرگتر شدن تابع معیار است پیش میبرند.

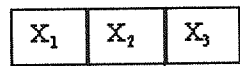
در بسیاری از مسائل از جمله شناسایی پارامترها، پاسخ مسئله مجموعه ای از اعداد حقیقی است. برای هماهنگ کردن این مسائل با فرم استاندارد الگوریتم ژنتیک، روش متداول، استفاده از رمز باینری برای اعداد حقیقی و چیدن آنها در کنار یکدیگر و تشکیل کروموزوم است. در اینصورت نقطه اثر عملگرها، مطابق با فرم استاندارد، میتواند بیت‌های میانی پارامترهای حقیقی نیز انتخاب شود.

در حل مسئله مورد بحث این مقاله، که با پارامترهای حقیقی سروکار دارد، نگرش جدیدی برای تشکیل کروموزوم و نحوه کار عملگرها بکار رفته است که باعث سهولت پیاده سازی و افزایش سرعت همگرایی شده است. در این نگرش هر کروموزوم بجای مجموعه ای از بیت‌ها، مجموعه ای از اعداد حقیقی در نظر گرفته میشود. نقطه تزویج تنها میتواند، مرز بین اعداد حقیقی انتخاب شود و عملگر جهش، پس از انتخاب یکی از اعداد حقیقی در کروموزوم، مقدار آنرا بطور تصادفی تغییر میدهد. در شکل (۱) نحوه کار عملگرهای تزویج و جهش برای فرم حقیقی نشان داده شده است.

عملگر تولید مثل، مشابه فرم استاندارد، تکثیر هر کروموزوم را متناسب با تابع معیار آن انجام میدهد. بدین

ترتیب کروموزومهایی که دارای تابع معیار بهتر هستند در نسل بعدی بیشتر تکثیر میشوند. روند کار الگوریتم با عملگرهای سه گانه در شکل (۲) نشان داده شده است.

$$\bar{X} = (x_1, x_2, x_3)$$

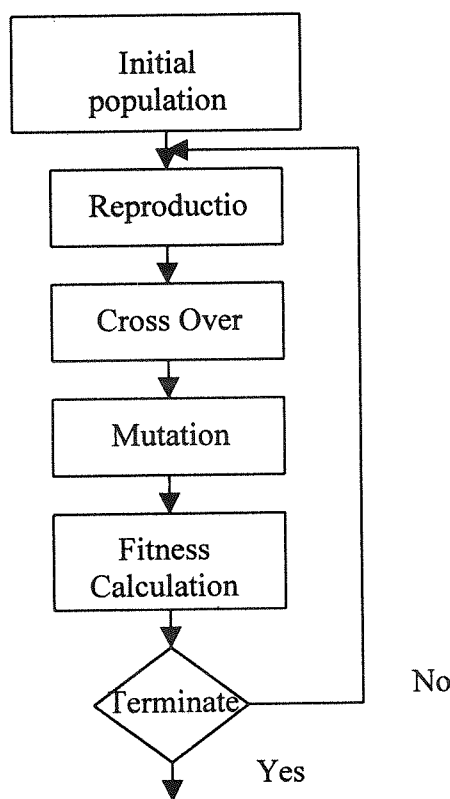


Possible Crossover Position

$$x_i \xrightarrow{\text{Mutation}} x_i = x_i + \text{rand}\left(-\frac{x_{\text{imax}}}{2}, \frac{x_{\text{imax}}}{2}\right)$$

x_{imax} ماکزیمم مقدار ممکن برای پارامتر x_i می باشد.

شکل (۱) عملگرهای تزویج و جهش در فرم حقیقی.



شکل (۲) روند کار الگوریتم ژنتیک.

ب - شناسایی پارامترهای مدل تابع سیم پیچ با

الگوریتم ژنتیک

$\bar{Y}_{ei} = (I_a^e, I_b^e, I_c^e, \omega_r^e)$ را پاسخ دینامیک یا گذرای موتور القائی به ورودی $\bar{X}_{ei} = (V_{ab}^e, V_{bc}^e)$ در نظر میگیریم. N زوج ورودی/خروجی $(\bar{X}_{ei}, \bar{Y}_{ei})_{i=1, \dots, N}$ میتوانند از طریق آزمایش بدست آیند. پارامترهای مدل تابع سیم پیچ موتور القائی را میتوان با بردار \bar{P} نشان داد.

$$\bar{P} = (g, I_e, I_b, r_e, r_b, r_{sa}, r_{sb}, r_{sc}, k_{sl}, J, T_1, T_c, k_1, k_2) \quad (32)$$

در پارامترهای بیان شده اندوکتانس نشستی هر فاز بصورت درصدی از اندوکتانس خودی یعنی $L_{lsx} = k_{sl} \times L_{msx}$ فرض شده، و k_{sl} به عنوان پارامتر در نظر گرفته شده است.

پاسخ مدل شبیه سازی شده به \bar{X}_{ei} را $\bar{Y}_{si} = (I_a^s, I_b^s, I_c^s, \omega_r^s)$ می نامیم. هدف از شناسائی پارامترها بدست آوردن \bar{P} به گونه ای است که به ازای هر $\bar{Y}_{si} = \bar{Y}_{ei}, \bar{X}_{ei}$ شود.

با توجه به وجود نویز، خطاهای عددی در شبیه سازی مدل و نیز خطاهای دستگاههای اندازه گیری، در عمل هیچگاه این برابری حاصل نخواهد شد. لذا بهترین تخمین برای پارامترها، تخمینی است که مجموع مربعات خطا را برای n زوج $\bar{Y}_{si}, \bar{Y}_{ei}$ حداقل نماید و بعبارت دیگر تابع معیار (32) را ماکزیمم کند.

$$Fit = \frac{1}{\sum_{i=1}^n ((I_{ai}^e - I_{ai}^s)^2 + (I_{bi}^e - I_{bi}^s)^2 + (I_{ci}^e - I_{ci}^s)^2 + k_{\omega} \times (\omega_{ri}^e - \omega_{ri}^s)^2)} \quad (32)$$

برای آنکه خطاهای مولفه ها در رابطه (32) سهم یکسانی داشته باشند، ضریب k_{ω} به خطای سرعت اعمال شده است. این ضریب متناسب با نسبت دامنه جریان به سرعت موتور انتخاب میشود، که برای موتور مورد آزمایش 0/1 انتخاب شده است.

بدین ترتیب مسئله شناسائی پارامترها به یک مسئله بهینه سازی تبدیل شده و با الگوریتم ژنتیک قابل حل میشود.

۲- نکات اجرایی در پیاده سازی الگوریتم ژنتیک

الگوریتم ژنتیک برای حل مسئله شناسائی پارامترهای مدل تابع سیم پیچ به سادگی قابل استفاده نمی باشد. در این بخش نکات اجرایی و تمهیداتی که پیاده سازی را ممکن نموده است مورد بحث قرار میگیرد.

اولا زمان شبیه سازی، نقش تعیین کننده ای را در بکارگیری الگوریتم ژنتیک بازی میکند. برای رسیدن به همگرایی چند هزار بار تکرار الگوریتم و چند ده هزار بار شبیه سازی متعارف می باشد. شبیه سازی رفتار موتور بر اساس مدل تابع سیم پیچ نوعا زمان بر بوده و گزارش ها حکایت از آن دارد که با پردازشگرهای رایج و برای شبیه سازی حدود یک ثانیه از عملکرد موتور، متجاوز از

یکساعت زمان لازم است. بدیهی است که چنین سرعتی برای شبیه سازی، روش را غیر عملی میکند. با تمهیدات انجام شده، سرعت شبیه سازی به حد بلادرنگ افزایش داده شده و نزدیک به ۱ ثانیه با پردازنده AMD-Athlon فرکانس ۱۲۰۰ مگاهرتز رسیده است.

ثانیا ساده کردن مدل و نقطه ای فرض نمودن توزیع سیم پیچها در شیار استاتور، مانع از همگرا شدن الگوریتم میشود که این مشکل نیز با اعمال توزیع واقعی سیم پیچها مرتفع شده است. توضیح آنکه، ساده سازی مدل، باعث جهشهای پله ای در اندوکتانسهای متقابل، نوسانات گشتاور خصوصا در حالت گذرا و در نتیجه خطای سرعت بدست آمده از شبیه سازی میشود. از آنجا که الگوریتم ژنتیک در پی شناسائی پارامترهایی است که با استفاده از آنها نتایج شبیه سازی یا خروجیهای مدل بر نتایج آزمایش منطبق شود، و مدل ساده شده دارای خطا است، همگرایی حاصل نمیشود. استفاده از توزیع واقعی سیم پیچها باعث افزایش دقت مدل، رفع خطای شبیه سازی و در نتیجه همگرایی الگوریتم میشود.

ثالثا، استفاده از شرائط متعارف برای اجرای الگوریتم و نیز نحوه کار عملگرها بصورت متعارف امکانپذیر نبوده و همگرایی حاصل نمی شود. در ادامه به روند استنتاج تغییرات و تمهیدات لازم که منجر به همگرایی تضمین شده و در مدت قابل قبول شده است می پردازیم.

الگوریتم ژنتیک در فرم استاندارد، نوعا با جمعیت ۵۰ الی ۱۰۰ نفری و با احتمال تزویج (P_c) بزرگ و احتمال جهش (P_m) بسیار کوچک اجرا میشود. چنین جمعیتی با ۲۰۰۰ بار تکرار الگوریتم و با زمان یک ثانیه برای هر بار شبیه سازی، نیازمند متجاوز از ۳۰ ساعت زمان اجرا میباشد که عملا غیر قابل قبول میباشد. لذا الگوریتم ابتدا با جمعیت ۱۰ نفری و احتمال تزویج $P_c=0.75$ و احتمال جهش $P_m=0.01$ و سپس تحت شرائط مختلف در محدوده های، تعداد جمعیت بین ۱۰ الی ۲۰، $0.5 < P_c < 0.85$ و $0.01 < P_m < 0.1$ ، مورد آزمایش قرار گرفت که در هیچیک از موارد همگرایی قابل قبول حاصل نگردید.

بمنظور رسیدن به همگرایی تضمین شده و در زمان اجرای قابل قبول، روند عملکرد الگوریتم، در طی اجرای مراحل مختلف الگوریتم و تحت شرائط مختلف، مورد نظارت و ارزیابی قرار گرفته و از مشاهدات، استنتاجات ذیل بعمل آمد:

- افزایش احتمال جهش، به افزایش سرعت همگرایی الگوریتم کمک می نماید.
- افزایش احتمال تزویج منجر به هم شکل شدن جمعیت شده و الگوریتم کار آبی خود را که تکیه بر جمعیت دارد، از دست می دهد.

کاهش محدوده تغییرات تصادفی عملگر جهش

از آنجائیکه افزایش تابع معیار به منزله نزدیک‌تر شدن به نقطه هدف می باشد، بهتر است با رشد مقدار تابع معیار، تغییرات تصادفی پارامترها کمتر شود. بعبارت دیگر اگر محدوده تغییرات تصادفی برای هر پارامتر با ضریبی کاهش داده شود جستجوی دقیق تری صورت می پذیرد. انتخاب ضریب به صورت مختلف امکان پذیر می باشد. در اجرای الگوریتم مورد بحث، تابع f_k طبق رابطه (۳۳) تعریف و بکار گرفته شده است.

$$f_k = \frac{1}{k_f \times \text{fit}}, k_f = \frac{10}{\text{fit}_{\max}} \quad (33)$$

بدین ترتیب تغییرات تصادفی اعمالی به هر پارامتر انتخاب شده در عملگر جهش از رابطه (۳۴) بدست می آید.

$$\text{rand}(-f_k \times \frac{X_{\text{imax}}}{2}, f_k \times \frac{X_{\text{imax}}}{2}) \quad (34)$$

رابطه (۳۳) نشان می دهد که در مراحل پایانی، محدوده مورد جستجو برای هر پارامتر به حدود ۰/۱ محدوده اولیه کاهش می یابد.

تزیق بهترین فرد نسل قدیم

با افزایش احتمال اعمال عملگر جهش به طریق ذکر شده، ملاحظه شد که در برخی حالتها، بدلیل تغییرات تصادفی زیاد، جمعیت جدید ویژگیهای نسل قبل را از دست می دهد. بمنظور جلوگیری از این اتفاق در هر مرحله از تکرار الگوریتم و پس از اجرای عملگرهای تزیق و جهش، بهترین فرد نسل قدیم جایگزین بدترین فرد نسل جدید می شود. بدین ترتیب انقراض نسل اتفاق نمی افتد و حفظ خصوصیات در نسل بعدی تضمین می شود.

۳- بستر و نتایج آزمایشگاهی

الف - بستر آزمایشگاهی

برای انجام آزمایش و ارزیابی روش پیشنهادی، از سیستم نشان داده شده در شکل (۳) استفاده شده است. در این سیستم امکان نمونه برداری از ورودیها و خروجیهای مورد نظر و تحت شرایط مختلف ولتاژ و بار به سادگی فراهم است.

موتور القائی مورد آزمایش، موتوری دو قطبی با قدرت

افزایش جمعیت به آن اندازه که بار محاسباتی را افزایش می دهد، تاثیری در افزایش سرعت همگرایی ندارد و در مجموع از نظر زمانی الگوریتم را کند میکند.

با تکیه بر این نتایج، تغییرات و تمهیدات زیر بعمل آمده و بکار بسته شد:

- جمعیت ۵ نفری انتخاب شد.

- احتمال تزیق $P_e=0.25$ انتخاب شد.

- جهش بصورت چند گانه و دسته بندی شده که آنرا جهش خانوادگی می نامیم، با احتمال $P_m=0.75$ اعمال شد.

- محدوده تغییرات تصادفی عملگر جهش متناسب با افزایش تابع معیار کاهش داده شد.

- تزیق بهترین فرد هر نسل به جمعیت نسل بعدی، با جایگزینی آن فرد به جای بدترین فرد، انجام شد.

پس از اعمال این تغییرات، عملکرد الگوریتم بطور مکرر و با استفاده از داده های حاصل از آزمایشهای مختلف، مورد ارزیابی قرار گرفت. در کلیه موارد همگرایی حاصل شد و در بدترین حالت با حدود ۲۰۰۰ بار تکرار و زمان اجرای حدود ۳ ساعت، پارامترها شناسائی شدند. از آنجائیکه سه مورد آخر از تمهیدات انجام شده، بیشترین تاثیر را در افزایش سرعت همگرایی داشته اند، توضیح مختصری در مورد هر یک ارائه می شود.

جهش خانوادگی

ارزیابی های اولیه الگوریتم نشان داد که افزایش احتمال جهش در یک پارامتر، سرعت همگرایی را افزایش می دهد که حد آن با $P_m=1$ حاصل می شود. در ادامه این روند، اثر جهش چند گانه با P_m بالا و برای کلیه پارامترها بررسی شد. نتیجه بدست آمده، بهبود چشمگیری را نشان نمیداد که میتواند ناشی از تصادفی شدن بیش از حد فرآیند باشد. نهایتاً جهش خانوادگی بعنوان روشی معتدل انتخاب و اعمال گردید، که سرعت همگرایی را بطور قابل ملاحظه ای افزایش داد. در این روش پارامترهای هر کروموزوم به چهار خانواده، با مفاهیم فیزیکی نزدیک به هم تقسیم شدند، که عبارتند از:

g -

I_e, I_b, k_{sl} -

$r_e, r_b, r_{sa}, r_{sb}, r_{sc}$ -

J, T_1, T_c, k_1, k_2 -

برای اجرای عملگر جهش خانوادگی، هر خانواده با احتمال P_m برای اجرای عملگر جهش انتخاب و سپس به یکی از اعضاء خانواده که بصورت تصادفی انتخاب می شود، تغییر تصادفی اعمال گردید.

۱HP و ولتاژ نامی ۳۸۰ ولت میباشد که با سیم پیچی خاص، امکان ایجاد خطای دور به دور نیز در آن فراهم شده است که پارامترهای آن عبارتند از:

$$V_{L-L}=380 \text{ volt}, I_{sr}=2 \text{ A}, N_r=2775 \text{ rpm}$$

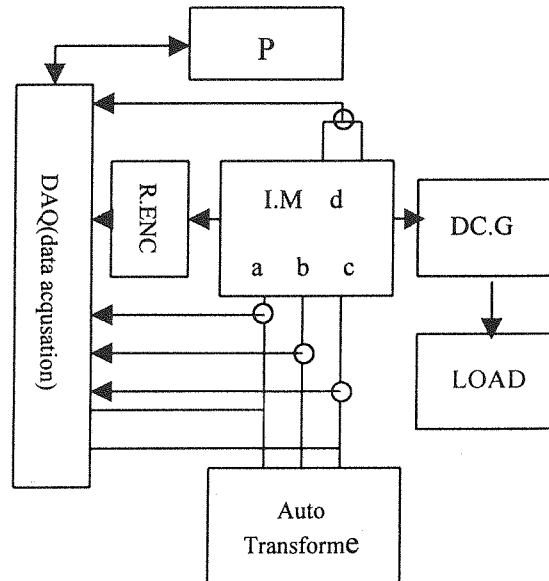
$$R_s=8.2 \Omega, R'_r=7.2 \Omega$$

$$X_{ls}=0.023 \text{ H}, X'_{lr}=0.027 \text{ H}, X_{ms}=0.337 \text{ H}$$

$$N_s=24 \text{ (stator slot)}, N_r=18 \text{ (rotor slot)}$$

موتور مورد استفاده در هر فاز دارای چهار کلاف متحد مرکز ۹۰ دوری با اتصال ستاره می‌باشد.

نمونه برداری از ورودیها و خروجیهای آزمایشی، بصورت ده بیتی و با فرکانس ۵ KHZ توسط کارت DAQ و توسط PC صورت میپذیرد. نمونه برداری برای مدت کوتاهی در حدود یک ثانیه از ابتدای راه اندازی تا تثبیت سرعت موتور در سرعت نامی صورت میپذیرد و حدود ۵۰۰۰ نمونه ثبت میگردد.



شکل (۳) بستر آزمایشگاهی مورد استفاده در انجام آزمایشها.

نمونه های ثبت شده، پیش از اعمال به الگوریتم ژنتیک از یک فیلتر میان گذر با فاز صفر عبور داده میشوند، تا اثر نویز سوئیچینگ منبع تغذیه کامپیوتر و نیز آفست DC ناشی از ویژگی سنسورهای بکار رفته، حذف شوند.

ب- نتایج آزمایش و ارزیابی الگوریتم

در این قسمت، برای ارزیابی روش پیشنهادی، به سه سؤال مهم پاسخ داده میشود. اولاً اینکه تفاوت مقدار بدست آمده برای پارامترها، از طریق شناسائی و از طریق روابط تقریبی، تا چه حد بر تطابق نتایج شبیه سازی و آزمایشی

اثر دارند؟ ثانیاً اینکه، آیا الگوریتم پیشنهادی نسبت به داده‌های حاصل از آزمایش حساس نمی‌باشد؟ عبارات دیگر آیا با تغییر شرایط آزمایش، باز هم همگرایی حاصل میشود؟ و برای یک موتور واحد، مجموعه یکسانی از پارامترها شناسائی میشوند؟ ثالثاً و از همه مهمتر اینکه، پارامترهایی که بدین طریق برای یک موتور سالم بدست می‌آیند آیا برای شبیه سازی همان موتور، تحت خطا قابل استفاده هستند؟ و نتیجه شبیه سازی با واقعیت تا چه حد تطابق دارد؟ سؤال سوم از آنرو مهم است که قرار است مدل برای مطالعه رفتار موتور تحت شرایط غیر متعارف چون بروز خطا استفاده شود، که امکان بررسی تجربی آن وجود نداشته و یا بسیار مشکل است. در ادامه، این سؤالات در سه قسمت مجزا، پاسخ داده میشوند.

دقت روش و مقایسه نتایج با مقادیر

بدست آمده از فرمولهای تقریبی

ستون اول از جدول (۲) مقادیر پارامترهای موتور را که از روابط تقریبی بدست آمده اند نشان میدهد. محاسبه اندوکتانسهای ناشی میله های روتور با استفاده از روابط الکترومغناطیس حاکم و با فرض چگالی جریان یکنواخت در میله ها، و خطوط شار عمودی، انجام شده است. البته روابط تا حد امکان ساده شده‌اند تا محاسبه امکان پذیر گردد. مقاومت میله ها نیز با استفاده از سطح مقطع و طول آنها و مقاومت مخصوص آلومینیوم و با صرف نظر نمودن از اثر پوستی محاسبه شده است. اندوکتانس ناشی هر فاز استاتور ۳٪ اندوکتانس خودی آن فرض شده و مقاومت فازهای استاتور با اهم متر اندازه گیری شده اند. فاصله هوایی متوسط با اعمال ضریب ۱/۲ به فاصله هوایی فیزیکی حاصل شده است. پارامترهای مکانیکی موتور با آزمایش دیگری که پارامترهای مدل dq موتور را شناسائی می نماید، شناسائی شده اند.

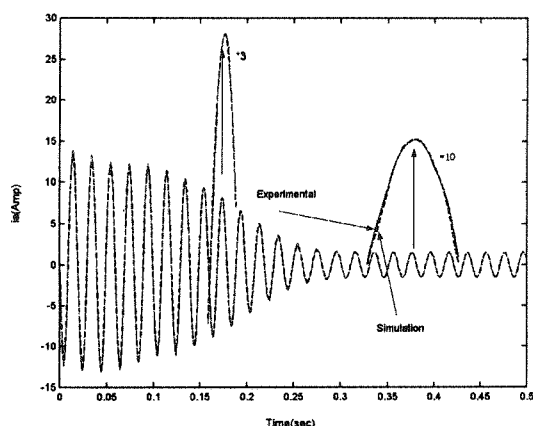
ستون دوم از جدول (۲)، پارامترهای شناسائی شده توسط الگوریتم پیشنهادی را نشان میدهد. داده های مورد استفاده الگوریتم، توسط سیستم شکل (۳) جمع آوری شده‌اند و شرایط آزمایش مربوطه یعنی ولتاژها و بار، در سطر اول جدول (۱) آمده است. همگرایی پس از ۲۰۰۰ بار تکرار الگوریتم حاصل شده است.

مقایسه ستون اول و دوم از جدول (۲) اختلاف بین مقادیر شناسائی شده و بدست آمده از روابط تقریبی را تا حد ۱۰٪ نشان میدهد. اثر این اختلاف بر شکل موج جریان فاز a استاتور و سرعت موتور در شکل (۴) و (۵) نشان داده شده است. شکل (۴) نتایج آزمایش و شبیه سازی با پارامترهای محاسبه شده را نشان میدهد. شکل

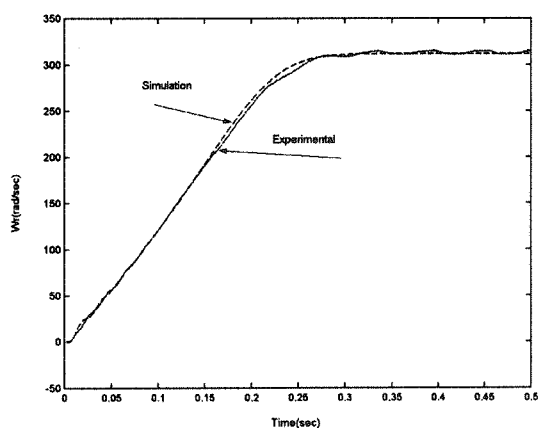
(۵) نتایج آزمایش و شبیه سازی با پارامترهای شناسائی شده و تطابق بهراتر آنها را بنمایش میگذارد. اختلاف دامنه جریانهای حاصل از آزمایش و شبیه سازی با پارامترهای محاسبه شده از روابط تقریبی، بیش از ۱۵٪ است در حالیکه این اختلاف برای جریانهای حاصل از آزمایش و شبیه سازی با پارامترهای شناسائی شده، کمتر از ۲٪ می باشد.

جدول (۱) شرایط ولتاژ خطوط و بار در انجام آزمایشها.

	V_{ab} (volt)	V_{ab} (volt)	T_1
آزمایش اول	378	381	0
آزمایش دوم	379	378	0
آزمایش سوم	374	375	$T_n^{2\%}$
آزمایش چهارم	377	377	$T_n^{2\%}$

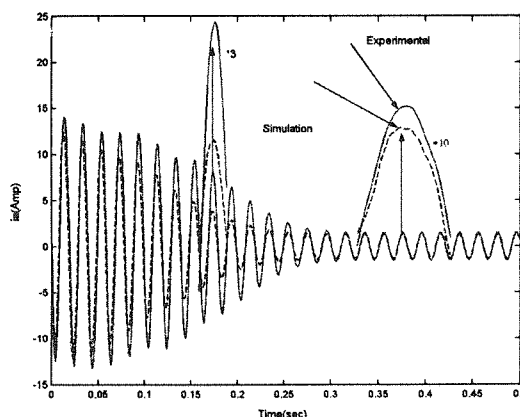


الف - جریان فاز a استاتور) بدلیل تطابق کامل، اختلاف دو منحنی حتی با بزرگنمایی ۱۰ برابر نیز مشهود نمی باشد.



ب - سرعت موتور

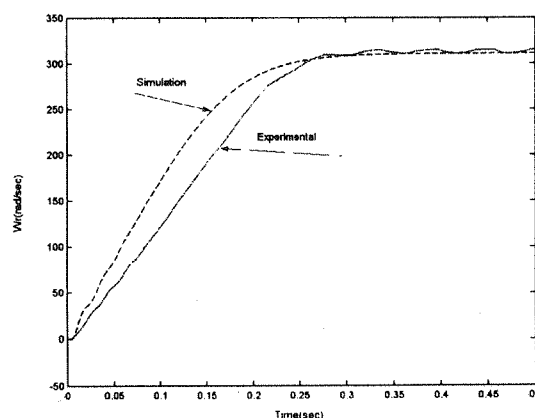
شکل (۵) مقایسه نتایج شبیه سازی با پارامترهای شناسائی شده و نتایج آزمایش عملی برای جریان فاز a استاتور و سرعت موتور.



الف - جریان فاز a استاتور

عدم حساسیت روش پیشنهادی به ولتاژ و بار، در انجام آزمایش، برای جمع آوری داده های مورد نیاز الگوریتم

برای نشان دادن عدم حساسیت روش به شرایط آزمایش، موتور مورد مطالعه با ولتاژها و بارهای مختلف مورد آزمایش قرار گرفت. الگوریتم ژنتیک نیز برای داده های بدست آمده از هر یک از آزمایشها، بطور جداگانه اجرا شد. در کلیه موارد همگرایی با حداکثر ۲۰۰۰ بار تکرار حاصل شد. شرایط چهار نمونه از آزمایشها در جدول (۱) آمده است. پارامترهای بدست آمده از این چهار آزمایش نیز در ستونهای ۲ الی ۵ جدول (۲) ارائه شده اند. همانطور که ملاحظه میشود، پارامترهای بدست آمده از آزمایشهای مختلف، حد اکثر ۵٪ اختلاف دارند.



ب - سرعت موتور

شکل (۴) مقایسه نتایج شبیه سازی با پارامترهای محاسبه شده و نتایج آزمایش عملی برای جریان فاز a استاتور و سرعت موتور.

جدول (۲) پارامترهای محاسبه و شناسایی شده برای موتور مورد آزمایش

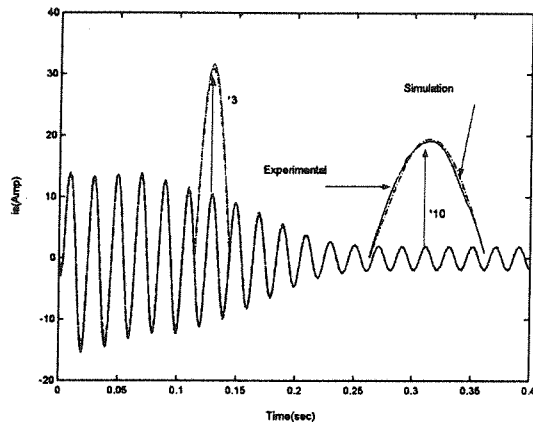
نوع پارامتر	پارامترهای محاسبه شده	پارامترهای شناسایی شده - سری اول	پارامترهای شناسایی شده - سری دوم	پارامترهای شناسایی شده - سری سوم	پارامترهای شناسایی شده - سری چهارم
g	0.75e-3	1.09e-3	1.11e-3	1.17e-3	1.15e-3
I_e	8.42e-9	1.73e-8	1.77e-8	1.79e-8	1.68e-8
I_b	6.98e-8	1.72e-7	1.77e-7	1.78e-7	1.75e-7
r_e	5.17e-6	4.05e-6	3.95e-6	3.90e-6	3.81e-6
r_b	5.34e-5	2.83e-5	2.55e-5	2.70e-5	2.73e-5
r_{sa}	7.3	7.43	7.41	7.23	7.11
r_{sb}	7.3	7.39	7.21	7.15	6.98
r_{sc}	7.48	7.55	7.35	7.25	7.69
K_{sa}	0.03	0.0691	0.0662	0.0699	0.0687
T_j	0.05	0.05	0.05	0.63	1.93
J	2.30e-3	2.32e-3	2.29e-3	16.0e-3	16.2e-3
K_1	1.58e-3	1.64e-6	1.6e-6	3.83e-6	5.83e-6
K_2	1.50e-6	1.51e-6	1.52e-6	3.79e-6	5.91e-6

× بدلیل سیم پیچی خاص موتور وامکان ایجاد خطا، مقاومت فاز a بیشتر از دو فاز دیگر است و تفاوت شدید مقادیر J , k_1 , k_2 در ستونهای دوم و سوم بدلیل اضافه شدن ژنراتور برای بارگذاری موتور می باشد.

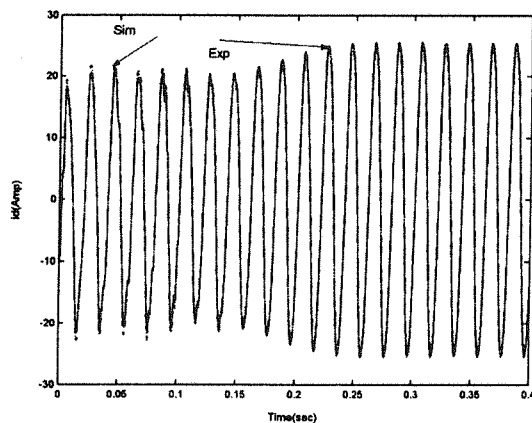
استفاده از پارامترهای موتور سالم برای شبیه سازی خطای دور به دور

در این قسمت ارزش اصلی مدل تابع سیم پیچ و الگوریتم پیشنهادی، نشان داده میشود. در واقع نمونه ای ارائه میشود که نشان میدهد چگونه میتوان با استفاده از پارامترهای موتور سالم، رفتار موتور را با فرض وقوع انواع خطا و با دقت بالایی مطالعه نمود.

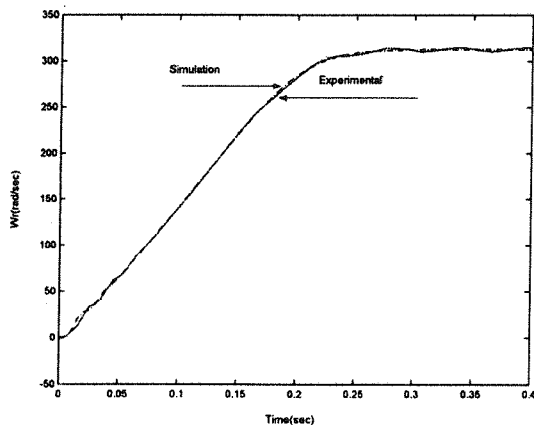
خطای مورد مطالعه در اینجا، خطای دور به دور استاتور انتخاب شده است. این انتخاب از آنرو است که، موتور مورد آزمایش بگونه ای سیم پیچی شده است که امکان ایجاد خطای مصنوعی دور به دور در آن و جمع آوری داده های تجربی و مقایسه آنها با نتایج شبیه سازی فراهم بوده است. لذا با استفاده از پارامترهای بدست آمده برای موتور سالم، مدل تابع سیم پیچ، با لحاظ نمودن خطای دور به دور ساخته و شبیه سازی انجام شد. همچنین داده های تجربی، با ایجاد خطای دور به دور، از موتور مورد آزمایش جمع آوری شد. اینکار برای دورهای متفاوت تکرار و در همه موارد تطبیق نتایج شبیه سازی و نتایج آزمایش مشاهده شد. شکل (۶) نمونه ای از نتایج آزمایش و شبیه سازی را برای جریان فاز a استاتور، جریان اتصال کوتاه و سرعت موتور با ۵ دور خطای دور به دور نشان میدهد، که حکایت از دقت کافی شبیه سازی دارند.



الف) جریان فاز a استاتور (بدلیل تطابق کامل، اختلاف منحنی ها با بزرگنمایی نیز چندان مشهود نمی باشد).



ب) جریان حلقه های اتصال کوتاه (اختلاف بیک دو جریان، در حد ۴٪ می باشد)



ج) سرعت موتور

شکل (۶) مقایسه نتایج شبیه سازی با پارامترهای شناسایی شده با نتایج آزمایش، برای جریان فاز a استاتور، جریان حلقه های اتصال کوتاه و سرعت موتور با وجود خطای دور به دور ۵ دوری.

در این مقاله روشی مبتنی بر الگوریتم ژنتیک، برای شناسایی پارامترهای مدل تابع سیم پیچ ارائه شده است. اهمیت مدل تابع سیم پیچ در مطالعه رفتار موتور القائی، تحت شرایط غیر متعارف، مثلاً بروز انواع خطاهای روتور و استاتور و خطاهای مکانیکی مانند ناهم محوری روتور میباشد. روش مرسوم در تعیین پارامترهای مدل، استفاده از روابط تقریبی و احیاناً اصلاحاتی مبتنی بر تجربه و سعی و خطا می باشد. با این روش تضمینی برای تطابق کامل نتایج شبیه سازی و نتایج آزمایش وجود ندارد. لذا این روش در کاربردهائی که دقت بالائی را می طلبند، کار آئی ندارد. روش پیشنهادی، شناسایی دقیق پارامترهای مدل تابع سیم پیچ هر موتور القائی دلخواه را میسر میکند. در این روش، یک آزمایش ساده بر روی موتور سالم انجام شده و داده های تجربی لازم جمع آوری می شود. سپس الگوریتم ژنتیکی با کدینگ حقیقی با استفاده از این داده ها،

پارامترها را شناسائی میکند. دقت پارامترهای بدست آمده از این روش و عدم حساسیت آن به شرایط آزمایش مورد نیاز، نشان داده شده است.

همچنین به عنوان نمونه ای از کار آئی مدل و روش پیشنهادی، شبیه سازی رفتار موتور تحت خطای دور به دور در استاتور، با استفاده از مدل تابع سیم پیچ و پارامترهای بدست آمده از موتور سالم، انجام شده و تطابق نتایج شبیه سازی با نتایج آزمایش نشان داده شده است. با توجه به اینکه الگوریتم ژنتیک دهها هزار بار شبیه سازی را می طلبد و با توجه به اینکه شبیه سازی با مدل تابع سیم پیچ بطور نسبی زمان بر است، پیاده سازی الگوریتم بسادگی و در زمان معقول میسر نبوده و تمهیدات انجام شده برای اجرائی شدن آن از دیگر مطالبی است که مورد بحث قرار گرفته است.

مراجع

- 247, June 1995
- [1] Xiaogang Luo, Yuefeng Liao, Hamid A.Toliyat, "Multiple coupled circuit modeling of induction machines", IEEE Trans on Industry Applications, Vol.31, No.2, pp.311-318, April 1995
- [2] Hamid A.Toliyat, Thomas A.Lipo, "Transient analysis of cage induction machines under stator, rotor bar and enf ring faults", IEEE Trans on Energy Conversion, Vol.10, No.2, pp.241-
- [3] D.E.Goldberg, "Genetic algorithms in search, optimization, and machine learning." Addison-Wesley, 1989.
- [4] Pragasen Pillay, Ray Nolan, "Application of genetic algorithm to motor parameter determination for transient torque calculation" IEEE Trans on Industry Applications, Vol.33, No.5, pp.1273-1282, Sept 1997